# 有限要素法による曲がり管の面外曲げ解析

# (管係数、半径比を変えた場合)

# 北海道工大 大滝 誠一

#### 1 緒 論

曲がり管が受ける曲げは、曲がり管の中心線に沿った平面を考え、その面内で受ける曲げ変形を面内曲げ、それ以外で受ける面外曲げに分けられる。また、前者では曲げモーメントとねじりモーメントが生じる。しかし、曲がり管の変形に関しては面内曲げに関する研究が多く、面外曲げ又はねじりを組み合わせた研究は少ないようである。そこで本研究では、円環かく要素を用いた有限要素法によって、曲げとねじりを受ける曲がり管の応力解析を行う。

まず、Hermite 補間関数を用いた変位関数を仮定して、Novozhilovのひずみと変位の関係から剛性マトリックスを導く。さらに曲がり管端部に強制変位を与える方法で、面外曲げのみを受ける場合と、曲げとねじりを受ける場合を考える。数値計算例として、開き角90°の曲がり管が一端を固定し他端に曲げとねじりモーメントが負荷される場合の解析を行い、中央断面の応力係数を求める。

#### 2 理 論

円環かくの座標系において、縦横の無次元化座標を $\xi$ 、 $\eta$ 、そして板厚方向にzをとる。これらの座標軸方向に対応する変位成分をu、v、w とし、変位関数fを次式のように仮定する。

$$f(\xi,\eta) = \sum_{i=1}^{2} \sum_{j=1}^{2} \left[ H_{0i}^{(1)}(\xi) H_{0j}^{(1)}(\eta) f_{ij} + A H_{1i}^{(1)}(\xi) H_{0j}^{(1)}(\eta) \frac{\partial f_{ij}}{\partial \xi} \right]$$

$$+\left.BH_{0i}^{(1)}(\xi)H_{ij}^{(1)}(\eta)\frac{\partial f_{ij}}{\partial \eta}+ABH_{1i}^{(1)}(\xi)H_{1j}^{(1)}(\eta)\frac{\partial f_{ij}}{\partial \xi\partial \eta}\right]$$

... (1)

次に、ひずみと変位の関係式は Novozhilov の理論から次式で表される。

$$\varepsilon_{\xi} = \frac{1}{AB} \left( 1 + \frac{z}{R_{\xi}} \right) \frac{\partial u}{\partial \xi} + \frac{1}{AB} \frac{\partial A}{\partial \eta} \left( 1 + \frac{z}{R_{\eta}} \right) v + \frac{1}{R_{\xi}} w$$

$$-\frac{z}{A^2}\frac{\partial^2 w}{\partial^2 \xi^2} - \frac{z}{AB^2}\frac{\partial A}{\partial \eta}\frac{\partial w}{\partial \eta}$$

$$\varepsilon_{\eta} = \frac{1}{B} \left( 1 + \frac{z}{R_{\xi}} \right) \frac{\partial v}{\partial \eta} + \frac{1}{R_{\eta}} w - \frac{z}{B^2} \frac{\partial^2 w}{\partial^2 \eta^2}$$

$$\gamma_{\xi\eta} = \frac{1}{B} \left( 1 + \frac{2z}{R_{\xi}} \right) \frac{\partial u}{\partial \eta} + \frac{1}{A} \left( 1 + \frac{2z}{R_{\eta}} \right) \frac{\partial v}{\partial \xi} - \frac{1}{AB} \frac{\partial A}{\partial \eta} \left( 1 + \frac{2z}{R_{\xi}} \right) u$$

$$-\frac{2z}{AB}\frac{\partial^2 w}{\partial \xi \partial \eta} + \frac{2z}{A^2B}\frac{\partial A}{\partial \eta}\frac{\partial w}{\partial \xi} \qquad \cdots \qquad (2)$$

等方性材料の一要素におけるひずみエネルギーU

をひずみ成分で表すと、次式で表される。

$$U = \int \int \int_{h/2}^{h/2} \frac{E}{2(1-v^2)} \left[ \varepsilon_{\xi}^2 + \varepsilon_{\eta}^2 + 2v\varepsilon_{\xi}\varepsilon_{\eta} + \frac{1-v}{2}\gamma_{\xi\eta}^2 \right] ABdz d\xi d\eta$$

... (3)

ここで、E、v、h はそれぞれヤング率、ポアソン 比及び板厚を表す。式 (1)、 (2) を式 (3) に代入 して整理すると、剛性マトリックスが得られる。

### 3解析結果

例題として、図2に示す様な開き角90°である曲がり管が、一端を固定され、他端に面外曲げを受ける場合と、さらに曲がり管の一端の45°方向にねじりを与える場合について計算する。なお、荷重条件は面外モーメントを端部に強制変位として与える。この値は最内、最外端で変位が0、冠部上下で $\pm 1$  と与える。表1 に例題の物性値及び寸法を示す。 $R_1$ 、 $R_2$  はそれぞれ曲がり管の曲率半径、管中央半径、b は半径比で $b=R_1/R_2$ 、 $\lambda$  は管係数で $\lambda=hb/R_2$ である。

本研究では、曲がり管を円周方向に 16 分割、長手方向に 6 分割した要素モデルを用い、その要素番号及び節点番号を示したモデルを図 3 に示す。

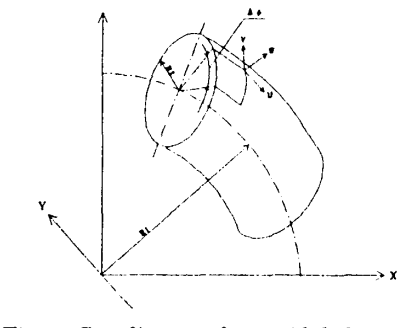


Fig.1 Coordinates of a toroidal element

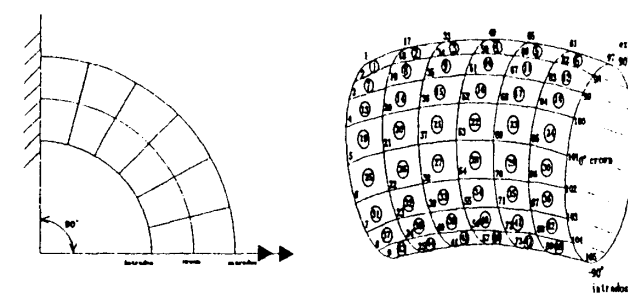


Fig. 2 Configuration of pipe

Fig.3 FEM Model

Tab. 1 Mechanical properties and dimensions

Young's modulus	E	(Gpa)	72.4
Poisson's ratio	ν		0.313
Radius 1	R <sub>1</sub>	(cm)	14.68
Radius 2	R <sub>2</sub>	(cm)	2.54
Thickness	h	(cm)	0.196

図 4、7 に長手方向応力を $\sigma_{\epsilon}/\sigma_{0}$ 、図 5、8 に円周方向応力を $\sigma_{\pi}/\sigma_{0}$ 、図 6、9 に長手・円周方向せん断応力を $\tau_{\epsilon\pi}/\tau_{0}$ と無次元化した応力係数で示す。なお、図 4、5、6 に関しては、 $\lambda$ =0.1 で b=2.0 と b=3.0 の二つの要素モデルに面外曲げを与えた場合の比較であるが、図 7、8、9 では b=5.78、 $\lambda$ =0.447 の要素モデルに、曲げとねじりを与えた実験値と大坪氏らの解析値(面外曲げのみ)との比較を行った。

図4において、長手方向応力の最大応力係数は、 内・外表面とも曲がり管の冠部付近に引張応力が集中 している。図5において、円周方向応力の応力係数は、 φ=-22.5° のとき最大値が内表面で-7.30 となる。 図6において長手・円周方向せん断応力は、内・外表 面とも σ=-22.5° のとき応力係数が最大となり、最 大値が-2.24 の値となる。図7において、最大応力 係数は外表面で 3.67、中立面では 2.81、内表面では 2.75 となる。また、内表面に近づくに従って最大応 力係数は曲がり管の冠部 φ=0°付近に集中し、応力 係数は小さくなっていく。図8において、最大応力係 数は内・外表面ともゅ=15.8°のときで、外表面は一 3.73、下表面は 4.44 となる。また、中立面は応力係 数が殆ど0であり、内・外表面の引張・圧縮応力はほ ぼ対称である。図9においては、最大応力係数は外表 面で ø=18.3°のとき-1.22、中立面は ø=-11.9°の とき-1.19、下表面は φ=-28.7° のとき-1.57 とな

る。したがって、最大応力係数は $\phi$ = $-22.5^{\circ}$   $\sim$ 22.5 $^{\circ}$  付近に集中しており、 $\phi$ = $0^{\circ}$  を境に応力分布が対称である。

#### 4 結論

本研究では、変位関数に Hermite 補間関数を用い た有限要素法により、面外曲げとねじりを受ける曲が り管の線形応力解析を行い、以下のような結論を得た。

- (1) 面外曲げを受けた場合の長手方向、円周方向 の応力及びせん断応力は、長手方向では外表 面、円周方向では内表面で応力係数が最大と なった。また、せん断方向の場合、b=2.0 と b=3.0 の外表面の最大応力係数が一致した。
- (2) 曲げとねじりを受けた場合の最大応力係数は、 長手方向、円周方向のいずれもが大坪氏らの 解より大きくなった。また、応力係数が 0 と なる角度も異なり、ねじりの影響が出ている と考えられる。

## 参考文献

- (1) 大坪、渡辺、リング要素による曲がり管の応力 解析機論 42 巻 362 号(1976)、pp.3037~3050
- (2) 大滝、非線形計画法による平板の大たわみ解析 機論 56 巻 526 号、A 編(1990)、pp.1474~1478
- (3) 川股、シェル構造解析、倍風館(1974)
- (4) Novozhilov.v.v , Thin Shell Theory , P.Noordhoff LTD.(1964), 23

